

Disciplina Métodos Potenciais

Vanderlei C. Oliveira Jr.

Observatório Nacional - MCTI

Rio de Janeiro - 2014

Conteúdo

1	Funções harmônicas	2
1.1	Função potencial magnético escalar	2
1.1.1	Exercício	2
2	Harmônicos esféricos	3
2.1	Equações diferenciais de r	3
2.1.1	Exercício	4
2.2	Equações diferenciais de λ	4
2.2.1	Exercício	4
2.3	Polinômios de Legendre	4
2.3.1	Exercício	6
2.3.2	Exercício	6
2.4	Equação de Laplace em coordenadas esféricas	7
2.4.1	Exercício	13
3	Anomalia de Campo Total	14
3.1	Definição	14
3.2	Anomalia de Campo Total aproximada	16
3.2.1	Exercício	17

1 Funções harmônicas

1.1 Função potencial magnético escalar

Seja $f(x, y, z)$ dada por

$$f(x, y, z) = - \iiint_v \mathbf{m}(x', y', z')^\top \left(\nabla \frac{1}{r} \right) dv \quad (1)$$

em que $r = \sqrt{(x - x')^2 + (y - y')^2 + (z - z')^2}$ é a distância entre o ponto (x, y, z) e o ponto (x', y', z') dentro do volume de integração v (Figura 1). Os vetores $\mathbf{m}(x', y', z')$ e $\nabla \frac{1}{r}$ são dados por

$$\mathbf{m}(x', y', z') = \begin{bmatrix} m_x(x', y', z') \\ m_y(x', y', z') \\ m_z(x', y', z') \end{bmatrix}_{3 \times 1} \quad (2)$$

e

$$\nabla \frac{1}{r} = \begin{bmatrix} \frac{\partial}{\partial x} \frac{1}{r} \\ \frac{\partial}{\partial y} \frac{1}{r} \\ \frac{\partial}{\partial z} \frac{1}{r} \end{bmatrix}_{3 \times 1} . \quad (3)$$

.....

1.1.1 Exercício

Mostre que a função $f(x, y, z)$ (Eq. 1) é harmônica e, portanto, satisfaz a equação de Laplace em coordenadas Cartesianas

$$\frac{\partial^2 f(x, y, z)}{\partial x^2} + \frac{\partial^2 f(x, y, z)}{\partial y^2} + \frac{\partial^2 f(x, y, z)}{\partial z^2} = 0 \quad (4)$$

.....

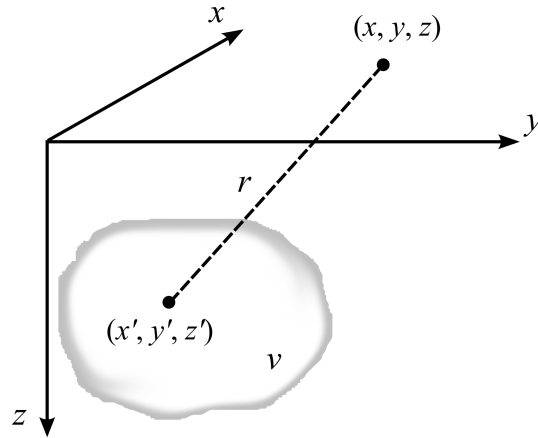


Figura 1: Distância $r = \sqrt{(x-x')^2 + (y-y')^2 + (z-z')^2}$ entre um ponto (x, y, z) e outro ponto (x', y', z') de um sistema de coordenadas Cartesianas. O ponto (x', y', z') está dentro do volume de integração v .

2 Harmônicos esféricos

2.1 Equações diferenciais de r

Sejam $f_1(r)$ e $f_2(r)$ duas funções dadas por

$$f_1(r) = r^n \tag{5}$$

e

$$f_2(r) = r^{-(n+1)} \quad , \tag{6}$$

em que $n \geq 0$ é um número inteiro e $r > 0$ é um número real.

.....

2.1.1 Exercício

Mostre que $f_1(r)$ (Eq. 5) e $f_2(r)$ (Eq. 6) são soluções da equação diferencial

$$r^2 \frac{d^2 f(r)}{dr^2} + 2r \frac{df(r)}{dr} - n(n+1)f(r) = 0 \quad . \quad (7)$$

.....

2.2 Equações diferenciais de λ

Sejam $h_1(\lambda)$ e $h_2(\lambda)$ duas funções dadas por

$$h_1(\lambda) = \cos(m\lambda) \quad (8)$$

e

$$h_2(\lambda) = \sin(m\lambda) \quad , \quad (9)$$

em que $m \geq 0$ é um número inteiro e λ é um número real.

.....

2.2.1 Exercício

Mostre que $h_1(\lambda)$ (Eq. 8) e $h_2(\lambda)$ (Eq. 9) são soluções da equação diferencial

$$\frac{d^2 h(\lambda)}{d\lambda^2} + m^2 h(\lambda) = 0 \quad . \quad (10)$$

.....

2.3 Polinômios de Legendre

A equação diferencial

$$\sin\theta g''(\theta) + \cos\theta g'(\theta) + \left[n(n+1) \sin\theta - \frac{m^2}{\sin\theta} \right] = 0 \quad (11)$$

tem como solução os polinômios associados de Legendre

$$g(\theta) = P_{nm}(\cos\theta) \quad . \quad (12)$$

Nestas Equações, n e m são inteiros maiores ou iguais a zero (sendo m menor ou igual a n), $g'(\theta)$ é a primeira derivada e $g''(\theta)$ é a segunda derivada de $g(\theta)$. Os inteiros n e m são, respectivamente, o grau e a ordem do polinômio $P_{nm}(\cos\theta)$. Por conveniência, estas Equações são comumente transformadas por mudança de variáveis utilizando a relação $t = \cos\theta$. Dessa forma,

$$\begin{aligned} g(\theta) &= \bar{g}(t) \\ g'(\theta) &= -\bar{g}'(t) \operatorname{sen}\theta \\ g''(\theta) &= \bar{g}''(t) \operatorname{sen}^2\theta - \bar{g}'(t) \cos\theta \quad . \end{aligned} \quad (13)$$

em que $\bar{g}(t) = P_{nm}(t)$, com primeira e segunda derivadas $\bar{g}'(t)$ e $\bar{g}''(t)$, respectivamente. Substituindo as Equações 13 na equação diferencial 11, dividindo o resultado por $\operatorname{sen}\theta$ e utilizando a relação $\operatorname{sen}^2\theta = 1 - t^2$ temos que

$$(1 - t^2) \bar{g}''(t) - 2t \bar{g}'(t) + \left[n(n+1) - \frac{m^2}{1-t^2} \right] \bar{g}(t) = 0 \quad . \quad (14)$$

A função $\bar{g}(t) = P_{nm}(t)$ (polinômio associado de Legendre escrito em função da variável t) que satisfaz a Equação 14 pode ser dada por

$$P_{nm}(t) = \frac{1}{2^n n!} (1 - t^2)^{m/2} \frac{d^{n+m}}{dt^{n+m}} (t^2 - 1)^n \quad . \quad (15)$$

Por exemplo,

$$\begin{aligned} P_{11}(t) &= \frac{(1 - t^2)^{1/2}}{2} \frac{d^2}{dt^2} (t^2 - 1) \\ &= \sqrt{1 - t^2} \\ &= \operatorname{sen}\theta \quad , \end{aligned} \quad (16)$$

ou

$$\begin{aligned}
 P_{21}(t) &= \frac{(1-t^2)^{1/2}}{2^2 2!} \frac{d^3}{dt^3} (t^2-1)^2 \\
 &= \frac{\sqrt{1-t^2}}{8} (16t+8t) \\
 &= 3t \sqrt{1-t^2} \\
 &= 3 \sin\theta \cos\theta \quad .
 \end{aligned} \tag{17}$$

No caso particular em que $m = 0$, não há raízes $\sqrt{1-t^2}$, $P_{nm}(t)$ é representado simplesmente por $P_n(t)$ e é denominado polinômio de Legendre. A partir da Equação 15, os polinômios de Legendre podem ser escritos como

$$P_n(t) = \frac{1}{2^n n!} \frac{d^n}{dt^n} (t^2-1)^n \quad . \tag{18}$$

Alternativamente, os polinômios de Legendre (18) a partir do grau $n = 2$ podem ser obtidos pela fórmula recursiva

$$P_n(t) = -\frac{n-1}{n} P_{n-2}(t) + \frac{2n-1}{n} t P_{n-1}(t) \quad , \tag{19}$$

em que $P_2(t)$ é obtido utilizando $P_0(t)$ e $P_1(t)$, $P_3(t)$ é obtido utilizando $P_1(t)$ e $P_2(t)$, etc.

.....

2.3.1 Exercício

Determine os polinômios associados de Legendre de grau $n = 0$ e ordem $m = 0$ até grau $n = 3$ e ordem $m = 3$ utilizando a Equação 15.

2.3.2 Exercício

Determine os polinômios de Legendre de grau $n = 0$ até $n = 5$ utilizando a Equação 18. Em seguida, determine os polinômios de grau $n = 2$ até $n = 5$ utilizando a fórmula recursiva (Eq. 19). Por último, faça um gráfico dos

polinômios de Legendre $P_n(t)$ de grau $n = 0$ até $n = 5$ para t no intervalo $[-1, 1]$.

.....

2.4 Equação de Laplace em coordenadas esféricas

Seja $V(r, \theta, \lambda)$ uma função harmônica que depende das coordenadas esféricas r , θ e λ (Fig. 2). Esta função satisfaz a equação de Laplace em coordenadas esféricas, que pode ser escrita como

$$r^2 \frac{\partial^2 V}{\partial r^2} + 2r \frac{\partial V}{\partial r} + \frac{\partial^2 V}{\partial \theta^2} + \cot \theta \frac{\partial V}{\partial \theta} + \frac{1}{\sin^2 \theta} \frac{\partial^2 V}{\partial \lambda^2} = 0 \quad . \quad (20)$$

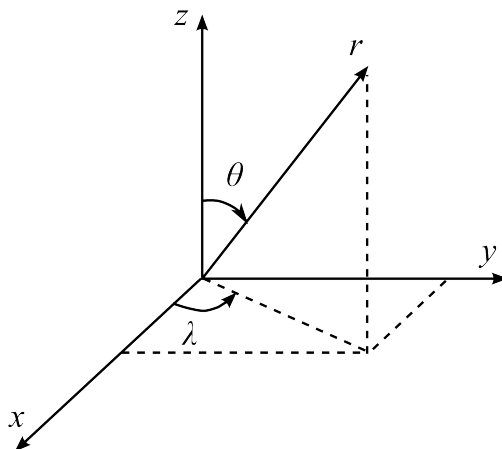


Figura 2: Sistema de coordenadas Cartesianas (x, y, z) e esféricas (r, θ, λ) .

Solução da Equação de Laplace em coordenadas esféricas

A equação de Laplace 20 pode ser resolvida pelo método de separação de variáveis. Este método consiste em supor que a função $V(r, \theta, \lambda)$ pode ser reescrita como o produto entre três funções independentes:

$$V(r, \theta, \lambda) = f(r) g(\theta) h(\lambda) \quad . \quad (21)$$

O próximo passo consiste em determinar as funções $f(r)$, $g(\theta)$ e $h(\lambda)$. Para tanto, basta substituir a função $V(r, \theta, \lambda)$ dada pela Equação 21 na equação de Laplace 20. Esta substituição nos leva a conclusão de que a função $f(r)$ (Eq. 21) satisfaz a equação diferencial 7. Tal como visto anteriormente, as funções $f_1(r)$ (Eq. 5) e $f_2(r)$ (Eq. 6) são soluções desta equação. Neste caso, mostra-se que a função $V(r, \theta, \lambda)$ pode ser escrita como:

$$V(r, \theta, \lambda) = r^n g(\theta) h(\lambda) \quad , \quad (22)$$

ou

$$V(r, \theta, \lambda) = \frac{1}{r^{(n+1)}} g(\theta) h(\lambda) \quad . \quad (23)$$

Estas funções são denominadas harmônicos esféricos sólidos. De forma análoga, mostra-se que a função $h(\lambda)$ (Eq. 21) satisfaz a equação diferencial 10, que possui as soluções $h_1(\lambda)$ (Eq. 8) e $h_2(\lambda)$ (Eq. 9), e que a função $g(\theta)$ (Eq. 21) satisfaz a equação diferencial 11, cuja solução é dada pelos polinômios associados de Legendre $P_{nm}(\cos\theta)$ (Eq. 12). Os polinômios associados de Legendre $P_{nm}(\cos\theta)$ podem ser obtidos pela Equação 15, em que $t = \cos\theta$. Por fim, é possível mostrar que a função $V(r, \theta, \lambda)$ pode ser escrita de duas formas:

$$V_e(r, \theta, \lambda) = \sum_{n=0}^{\infty} r^n Y_n(\theta, \lambda) \quad , \quad (24)$$

ou

$$V_i(r, \theta, \lambda) = \sum_{n=0}^{\infty} \frac{1}{r^{(n+1)}} Y_n(\theta, \lambda) \quad , \quad (25)$$

em que

$$Y_n(\theta, \lambda) = \sum_{m=0}^n [A_{nm} R_{nm}(\theta, \lambda) + B_{nm} S_{nm}(\theta, \lambda)] \quad , \quad (26)$$

sendo A_{nm} e B_{nm} constantes e as funções $R_{nm}(\theta, \lambda)$ e $S_{nm}(\theta, \lambda)$ dadas por

$$R_{nm}(\theta, \lambda) = P_{nm}(\cos\theta) \cos(m\lambda) \quad (27)$$

e

$$S_{nm}(\theta, \lambda) = P_{nm}(\cos\theta) \sin(m\lambda) \quad . \quad (28)$$

As funções $Y_n(\theta, \lambda)$ (Eq. 26) são denominadas harmônicos (esféricos) de superfície.

Relações de ortogonalidade entre as funções $R_{nm}(\theta, \lambda)$ e $S_{nm}(\theta, \lambda)$

As constantes A_{nm} e B_{nm} (Eq. 26) podem ser determinadas por meio das relações de ortogonalidade entre as funções $R_{nm}(\theta, \lambda)$ (Eq. 27) e $S_{nm}(\theta, \lambda)$ (Eq. 28). Para tanto, vamos considerar $r = 1$ nas equações 24 e 25. Dessa maneira, estas equações são iguais a uma função $f(\theta, \lambda)$ que pode ser escrita em função dos harmônicos de superfície (Eq. 26) da seguinte forma

$$\begin{aligned} f(\theta, \lambda) &= \sum_{n=0}^{\infty} Y_n(\theta, \lambda) \\ &= \sum_{n=0}^{\infty} \sum_{m=0}^n [A_{nm} R_{nm}(\theta, \lambda) + B_{nm} S_{nm}(\theta, \lambda)] \quad . \end{aligned} \quad (29)$$

De acordo com as relações de ortogonalidade entre as funções $R_{nm}(\theta, \lambda)$ (Eq. 27) e $S_{nm}(\theta, \lambda)$ (Eq. 28),

$$\iint_{\sigma} R_{nm}(\theta, \lambda) R_{op}(\theta, \lambda) d\sigma = 0 \quad (30)$$

e

$$\iint_{\sigma} S_{nm}(\theta, \lambda) S_{op}(\theta, \lambda) d\sigma = 0 \quad (31)$$

para o caso em que $nm \neq op$. Já a integral

$$\iint_{\sigma} R_{nm}(\theta, \lambda) S_{op}(\theta, \lambda) d\sigma = 0 \quad (32)$$

é sempre zero, independente dos valores de o e p . Nestas Equações, $\iint_{\sigma} = \int_{\lambda=0}^{2\pi} \int_{\theta=0}^{\pi}$ e $d\sigma = \sin\theta d\theta d\lambda$. Por outro lado, estas integrais são diferentes de zero quando $nm = op$. Neste caso,

$$\iint_{\sigma} R_{n0}^2(\theta, \lambda) d\sigma = \frac{4\pi}{2n+1} \quad (33)$$

e

$$\left. \begin{array}{l} \iint_{\sigma} R_{nm}^2(\theta, \lambda) d\sigma \\ \iint_{\sigma} S_{nm}^2(\theta, \lambda) d\sigma \end{array} \right\} = \frac{2\pi}{2n+1} \frac{(n+m)!}{(n-m)!} \quad (34)$$

Observe que estas integrais (Eqs. 30, 31, 32, 33 e 34) são avaliadas sobre a superfície σ de uma esfera com raio unitário, cuja área é igual a 4π .

Determinação das constantes A_{nm} e B_{nm}

Para determinar as constantes A_{nm} (Eqs. 26 e 29), basta multiplicar os dois lados da Equação 29 por $R_{op}(\theta, \lambda)$ (Eq. 27), integrar o resultado sobre a super-

fície σ de uma esfera com raio unitário e utilizar as relações de ortogonalidade (Eqs. 30, 31, 32, 33 e 34):

$$\begin{aligned}
R_{op}(\theta, \lambda) f(\theta, \lambda) &= R_{op}(\theta, \lambda) \sum_{n=0}^{\infty} \sum_{m=0}^n [A_{nm} R_{nm}(\theta, \lambda) + B_{nm} S_{nm}(\theta, \lambda)] \\
&= [A_{00} R_{op}(\theta, \lambda) R_{00}(\theta, \lambda) + \\
&\quad B_{00} R_{op}(\theta, \lambda) S_{00}(\theta, \lambda) + \\
&\quad A_{10} R_{op}(\theta, \lambda) R_{10}(\theta, \lambda) + \\
&\quad B_{10} R_{op}(\theta, \lambda) S_{10}(\theta, \lambda) + \\
&\quad A_{11} R_{op}(\theta, \lambda) R_{11}(\theta, \lambda) + \\
&\quad B_{11} R_{op}(\theta, \lambda) S_{11}(\theta, \lambda) + \\
&\quad \vdots \\
&\quad A_{op} R_{op}(\theta, \lambda) R_{op}(\theta, \lambda) + \\
&\quad B_{op} R_{op}(\theta, \lambda) S_{op}(\theta, \lambda) + \\
&\quad \vdots \\
&\quad A_{nn} R_{op}(\theta, \lambda) R_{nn}(\theta, \lambda) + \\
&\quad B_{nn} R_{op}(\theta, \lambda) S_{nn}(\theta, \lambda)] \\
&= [\dots + A_{op} R_{op}^2(\theta, \lambda) + \dots]
\end{aligned} \tag{35}$$

$$\begin{aligned}
\iint_{\sigma} f(\theta, \lambda) R_{op}(\theta, \lambda) d\sigma &= \left[\dots + \iint_{\sigma} A_{op} R_{op}^2(\theta, \lambda) d\sigma + \dots \right] \\
&= \left[\dots + A_{op} \iint_{\sigma} R_{op}^2(\theta, \lambda) d\sigma + \dots \right] \cdot \\
&= A_{op} \iint_{\sigma} R_{op}^2(\theta, \lambda) d\sigma
\end{aligned} \tag{36}$$

De forma análoga, para determinar as constantes B_{nm} (Eqs. 26 e 29), basta multiplicar os dois lados da Equação 29 por $S_{op}(\theta, \lambda)$ (Eq. 28), integrar o resultado sobre a superfície σ de uma esfera com raio unitário e utilizar as

relações de ortogonalidade (Eqs. 30, 31, 32, 33 e 34):

$$\iint_{\sigma} f(\theta, \lambda) S_{op}(\theta, \lambda) d\sigma = B_{op} \iint_{\sigma} S_{op}^2(\theta, \lambda) d\sigma . \quad (37)$$

A partir das Equações 36 e 37 temos que

$$A_{n0} = \frac{2n+1}{4\pi} \iint_{\sigma} f(\theta, \lambda) R_{n0}(\theta, \lambda) d\sigma , \quad (38)$$

$$A_{nm} = \frac{2n+1}{2\pi} \frac{(n-m)!}{(n+m)!} \iint_{\sigma} f(\theta, \lambda) R_{nm}(\theta, \lambda) d\sigma , \quad m \neq 0 , \quad (39)$$

e

$$B_{nm} = \frac{2n+1}{2\pi} \frac{(n-m)!}{(n+m)!} \iint_{\sigma} f(\theta, \lambda) S_{nm}(\theta, \lambda) d\sigma , \quad m \neq 0 . \quad (40)$$

Normalização das funções $R_{nm}(\theta, \lambda)$ e $S_{nm}(\theta, \lambda)$

Em geofísica, a descrição do campo de gravidade e do campo geomagnético é feita por meio dos harmônicos esféricos (Eqs. 24 e 25). Contudo, por conveniência, a descrição destes campos não é feita utilizando-se as funções $R_{nm}(\theta, \lambda)$ (Eq. 30) e $S_{nm}(\theta, \lambda)$ (Eq. 31). Ao invés destas funções, são utilizadas as funções normalizadas

$$\overline{R}_{nm}(\theta, \lambda) = c_{nm} R_{nm}(\theta, \lambda) \quad (41)$$

e

$$\overline{S}_{nm}(\theta, \lambda) = c_{nm} S_{nm}(\theta, \lambda) . \quad (42)$$

Para descrever o campo de gravidade, os coeficientes c_{nm} (Eqs. 41 e 42) são

$$c_{n0}^{gr} = \sqrt{2n+1} \quad (43)$$

e

$$c_{nm}^{gr} = \sqrt{2(2n+1) \frac{(n-m)!}{(n+m)!}}, \quad m \neq 0. \quad (44)$$

Para descrever o campo geomagnético, os coeficientes c_{nm} (Eqs. 41 e 42) são

$$c_{n0}^{ge} = 1 \quad (45)$$

e

$$c_{nm}^{ge} = \sqrt{2 \frac{(n-m)!}{(n+m)!}}, \quad m \neq 0. \quad (46)$$

.....

2.4.1 Exercício

Utilizando as relações de ortogonalidade entre as funções $R_{nm}(\theta, \lambda)$ (Eq. 30) e $S_{nm}(\theta, \lambda)$ (Eq. 31), determine

$$\frac{1}{4\pi} \iint_{\sigma} \left[\bar{R}_{nm}^{gr}(\theta, \lambda) \right]^2 d\sigma,$$

$$\frac{1}{4\pi} \iint_{\sigma} \left[\bar{S}_{nm}^{gr}(\theta, \lambda) \right]^2 d\sigma,$$

$$\frac{1}{4\pi} \iint_{\sigma} \left[\bar{R}_{nm}^{ge}(\theta, \lambda) \right]^2 d\sigma$$

e

$$\frac{1}{4\pi} \iint_{\sigma} \left[\bar{S}_{nm}^{ge}(\theta, \lambda) \right]^2 d\sigma,$$

em que $\int_{\sigma} = \int_{\lambda=0}^{2\pi} \int_{\theta=0}^{\pi}$ e $d\sigma = \sin\theta d\theta d\lambda$. Nestas integrais, $\bar{R}_{nm}^{gr}(\theta, \lambda)$ e $\bar{S}_{nm}^{gr}(\theta, \lambda)$ representam as funções normalizadas $\bar{R}_{nm}(\theta, \lambda)$ (Eq. 41) e $\bar{S}_{nm}(\theta, \lambda)$ (Eq. 42) utilizando-se os coeficientes c_{n0}^{gr} (Eq. 43) e c_{nm}^{gr} (Eq. 44). Analogamente, $\bar{R}_{nm}^{ge}(\theta, \lambda)$ e $\bar{S}_{nm}^{ge}(\theta, \lambda)$ representam as funções normalizadas $\bar{R}_{nm}(\theta, \lambda)$ (Eq. 41) e $\bar{S}_{nm}(\theta, \lambda)$ (Eq. 42) utilizando-se os coeficientes c_{n0}^{ge} (Eq. 45) e c_{nm}^{ge} (Eq. 46).

.....

Expansão da função inverso da distância e fórmula da decomposição

3 Anomalia de Campo Total

3.1 Definição

Considere uma área de estudo sobre uma pequena região na superfície do planeta. Em um dado intervalo curto de tempo, podemos considerar que a parcela do campo geomagnético que é produzida pelo núcleo da Terra é um vetor constante em toda a área de estudo. Este vetor pode ser escrito como

$$\mathbf{F} = \|\mathbf{F}\| \hat{\mathbf{F}}, \quad (47)$$

em que $\|\mathbf{F}\|$ é a intensidade de \mathbf{F} e $\hat{\mathbf{F}}$ é um vetor unitário dado por

$$\hat{\mathbf{F}} = \begin{bmatrix} \cos(I) \cos(D) \\ \cos(I) \sin(D) \\ \sin(I) \end{bmatrix}, \quad (48)$$

sendo D e I a declinação e a inclinação de \mathbf{F} , respectivamente, de acordo com a Figura 3.

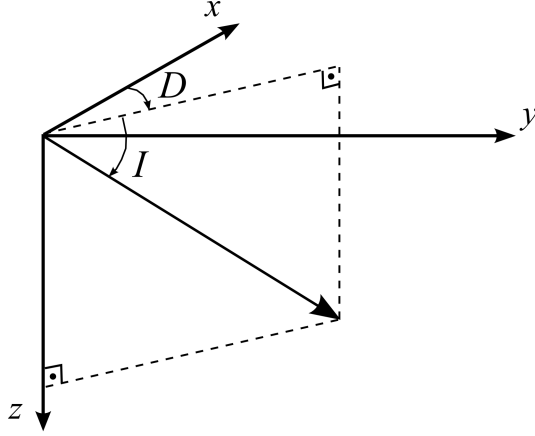


Figura 3: Representação esquemática de um vetor com declinação D e inclinação I referidas a um sistema de coordenadas Cartesianas com o eixo x apontando para o norte geográfico, y apontando para o leste e z para baixo.

A anomalia de campo total em uma determinada posição (x_i, y_i, z_i) , $i = 1, \dots, N$, da área de estudo é definida da seguinte forma:

$$\Delta T_i = \|\mathbf{F} + \mathbf{B}_i\| - \|\mathbf{F}\|, \quad (49)$$

em que \mathbf{B}_i é a indução magnética produzida na posição (x_i, y_i, z_i) por corpos geológicos magnetizados em subsuperfície. Em geral, a seguinte relação é válida:

$$\|\mathbf{F}\| \gg \|\mathbf{B}_i\|, \quad i = 1, \dots, N. \quad (50)$$

Esta relação possibilita aproximar a anomalia de campo total ΔT_i (Eq. 49) por uma série de Taylor, tal como será descrito a seguir.

3.2 Anomalia de Campo Total aproximada

Seja $f(\mathbf{p})$ uma função escalar dada por:

$$\begin{aligned} f(\mathbf{p}) &= \|\mathbf{p}\| \\ &= \sqrt{\mathbf{p}^\top \mathbf{p}} \\ &= p_x^2 + p_y^2 + p_z^2, \end{aligned} \tag{51}$$

em que \mathbf{p} é um vetor dado por

$$\mathbf{p} = \begin{bmatrix} p_x \\ p_y \\ p_z \end{bmatrix}_{3 \times 1}. \tag{52}$$

A função $f(\mathbf{p})$ (Eq. 51) representa a norma Euclidiana do vetor \mathbf{p} (Eq. 52), cujas componentes Cartesianas são p_x , p_y e p_z . A função pode ser expandida em torno de um ponto \mathbf{p}_0 por meio de uma série de Taylor até ordem 1 da seguinte forma:

$$f(\mathbf{p}_0 + \Delta\mathbf{p}) \approx f(\mathbf{p}_0) + \nabla f(\mathbf{p}_0)^\top \Delta\mathbf{p}, \tag{53}$$

em que $\Delta\mathbf{p}$ é um vetor que representa uma pequena perturbação em torno de \mathbf{p}_0 — isto é, $\|\mathbf{p}_0\| \gg \|\Delta\mathbf{p}\|$ — e $\nabla f(\mathbf{p}_0)$ é o vetor gradiente de $f(\mathbf{p}_0)$, que é definido como:

$$\nabla f(\mathbf{p}_0) = \begin{bmatrix} \frac{\partial f(\mathbf{p}_0)}{\partial p_x} \\ \frac{\partial f(\mathbf{p}_0)}{\partial p_y} \\ \frac{\partial f(\mathbf{p}_0)}{\partial p_z} \end{bmatrix}_{3 \times 1}. \tag{54}$$

Se derivarmos a Equação 51 em relação às variáveis p_x , p_y e p_z , podemos reescrever o vetor $\nabla f(\mathbf{p}_0)$ da seguinte forma:

$$\begin{aligned}\nabla f(\mathbf{p}_0) &= \frac{\mathbf{p}_0}{\sqrt{\mathbf{p}_0^\top \mathbf{p}_0}} \\ &= \hat{\mathbf{p}}_0 ,\end{aligned}\tag{55}$$

sendo $\hat{\mathbf{p}}_0$ um vetor unitário com a mesma direção e sentido do vetor \mathbf{p}_0 . Substituindo esta expressão (Eq. 55) na Equação 53 temos que:

$$f(\mathbf{p}_0 + \Delta \mathbf{p}) \approx \|\mathbf{p}_0\| + \hat{\mathbf{p}}_0^\top \Delta \mathbf{p} .\tag{56}$$

Utilizando esta aproximação por série de Taylor (Eq. 56) e considerando que a indução magnética \mathbf{B}_i , $i = 1, \dots, N$ (Eq. 49) é uma pequena perturbação no campo geomagnético \mathbf{F} (Eq. 47), — ou seja, que a Equação 50 é válida — podemos aproximar a anomalia de campo total ΔT_i (Eq. 49) pela seguinte expressão:

$$\begin{aligned}\Delta T_i^a &= \|\mathbf{F}\| + \frac{\mathbf{F}^\top}{\sqrt{\mathbf{F}^\top \mathbf{F}}} \mathbf{B}_i - \|\mathbf{F}\| \\ &= \hat{\mathbf{F}}^\top \mathbf{B}_i ,\end{aligned}\tag{57}$$

em que $\hat{\mathbf{F}}$ é um vetor unitário com a mesma direção e sentido do campo geomagnético \mathbf{F} (Eq. 47). Vale ressaltar que esta aproximação (Eq. 57) da anomalia de campo total (Eq. 49) pressupõe a validade da relação descrita pela Equação 50.

.....

3.2.1 Exercício

Seja \mathbf{B} um vetor 3×1 que representa a indução magnética produzida por um corpo geológico em uma determinada posição na superfície da Terra. Este vetor

pode ser escrito como:

$$\mathbf{B} = \|\mathbf{B}\| \hat{\mathbf{B}}, \quad (58)$$

em que $\|\mathbf{B}\|$ é a intensidade de \mathbf{B} e $\hat{\mathbf{B}}$ é um vetor unitário dado por

$$\hat{\mathbf{B}} = \begin{bmatrix} \cos(i) \cos(d) \\ \cos(i) \sin(d) \\ \sin(i) \end{bmatrix}, \quad (59)$$

sendo d e i a declinação e a inclinação de \mathbf{B} , respectivamente, de acordo com a Figura 3. Utilizando este vetor \mathbf{B} (Eq. 58) e um vetor \mathbf{F} que descreva o campo geomagnético é possível calcular a anomalia de campo total ΔT (Eq. 49) e a anomalia de campo total aproximada ΔT^a (Eq. 57). É de se esperar que, quanto maior a intensidade de \mathbf{F} , menos deve ser a diferença entre ΔT (Eq. 49) e ΔT^a (Eq. 57). Sendo assim:

1. Defina valores para $\|\mathbf{B}\|$, d e i (Eqs. 58 e 59) e calcule um vetor \mathbf{B} .
2. Defina valores para D e I (Eq. 48) e calcule um vetor unitário $\hat{\mathbf{F}}$.
3. Defina um conjunto de N valores $F = \|\mathbf{F}\|$. Estes valores devem formar uma série crescente, que começa com valores menores que $\|\mathbf{B}\|$ (definido no item 1) e terminam com valores muito maiores que $\|\mathbf{B}\|$ (definido no item 1).
4. Utilizando o vetor unitário $\hat{\mathbf{F}}$ definido no item 2 e cada um dos N valores F definidos no item anterior, calcule um vetor \mathbf{F} .
5. Para cada um dos N vetores \mathbf{F} definidos no item anterior, calcule a anomalia de campo total ΔT (Eq. 49) e a anomalia de campo total aproximada ΔT^a (Eq. 57).
6. Faça um gráfico da anomalia de campo total predita pelas Equações 49 e 57 em função da razão $F/\|\mathbf{B}\|$.

7. A partir de qual valor $F/\|\mathbf{B}\|$ a diferença entre os valores preditos pelas Equações 49 e 57 é mínima?

.....